Лекция 6

Тема лекции: Гетеропереходы

Цель лекции:

Рассмотреть физические основы гетеропереходов — контактов между различными полупроводниковыми материалами, изучить их энергетические зонные диаграммы, механизмы переноса носителей заряда и основные области применения в современной электронике и оптоэлектронике.

Основные вопросы:

- 1. Понятие и физическая сущность гетероперехода.
- 2. Классификация гетеропереходов: изотипные и анизотипные, прямые и косвенные типы.
- 3. Энергетические соотношения на границе раздела полупроводников, разрывы зон
- 4. Зонные диаграммы гетеропереходов: типы выравнивания (I, II, III).
- 5. Формирование встроенного потенциала и выравнивание уровней Ферми.
- 6. Перенос носителей заряда через гетерограницу: диффузия, дрейф, туннельные процессы.
- 7. Влияние дефектов и поверхностных состояний на свойства гетероперехода.

Краткие тезисы:

Гетеропереходом называют контакт двух полупроводников различного вида и разного типа проводимости, например, pGe — nGaAs. Отличие гетеропереходов от обычного p-n перехода заключается в том, что в обычных p-n переходах используется один и тот же вид полупроводника, например, pSi — nSi. Поскольку в гетеропереходах используются разные материалы, необходимо, чтобы у этих материалов с высокой точностью совпадали два параметра: температурный коэффициент расширения (ТКР) и постоянная решетки [18, 16, 19].

С учетом сказанного количество материалов для гетеропереходов ограничено. Наиболее распространенными из них являются германий Ge, арсенид галлия GaAs, фосфид индия InP, четырехкомпонентный раствор InGaAsP.

В зависимости от ширины запрещенной зоны $E_{\rm g}$, электронного сродства χ и типа легирования узкозонной и широкозонной областей гетероперехода возможны различные комбинации $E_{\rm g}$ и χ . На рисунке 2.18 показаны эти комбинации при условии равенства термодинамических работ выхода.

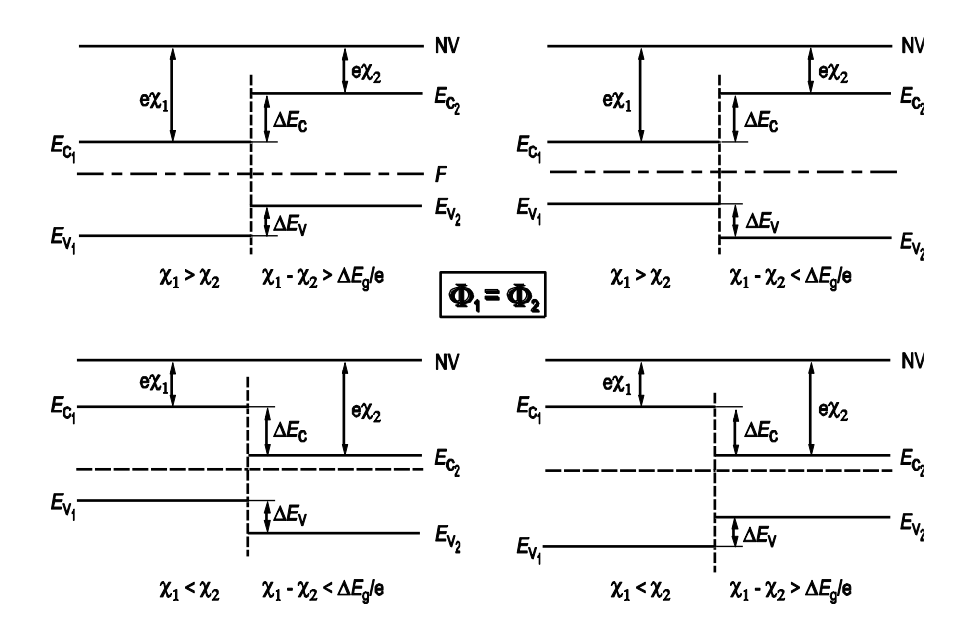


Рис. 2.18.- Зонные диаграммы гетеропереходов при различных комбинациях $E_{\rm g}$ и χ в случае равенства термодинамических работ выхода $\Phi_1 = \Phi_2$ [18]

Для построения зонных диаграмм, детального анализа распределения электрического поля и потенциала в области пространственного заряда гетероперехода, а также величины и компонент электрического тока для гетеропереходов необходимо учитывать, что у различных полупроводников будут отличаться значения электронного сродства χ , ширины запрещенной зоны E_g и диэлектрической проницаемости ε_s .

С учетом этих факторов построим зонную диаграмму гетероперехода германий — арсенид галлия (pGe — nGaAs). Значения параметров полупроводниковых материалов, выбранных для расчета зонной диаграммы, приведены в таблице 1.

Приведем в контакт германий pGe и арсенид галлия nGaAs.

При построении зонной диаграммы гетероперехода учтем следующие факторы:

- 1. Уровень вакуума E = 0 непрерывен.
- 2. Электронное сродство в пределах одного сорта полупроводника χ_{Ge} и χ_{GaAs} постоянно.
- 3. Ширина запрещенной зоны $E_{\rm g}$ в пределах одного сорта полупроводника остается постоянной.

Таблица 1 - Параметры выбранных для расчета полупроводниковых материалов

Параметры материала	Обознач ение	Германий (pGe)	Арсенид галлия (nGaAs)
Постоянная решетки, Å	a	5,654	5,658
Коэффициент линейного температурного расширения, 10^{-6} K ⁻	ТКР	5,9	6,0
Легирующая концентрация, см-3	$N_{ m A,D}$	3.10^{16}	10 ¹⁶
Расстояние от уровня Ферми до зоны разрешенных энергий, эВ	W_0	0,14	0,17
Расстояние от уровня Ферми до середины запрещенной зоны, эВ	$arphi_0$	0,21	0,55
Электронное сродство, В		4,05	4,07

С учетом этого в процессе построения зонной диаграммы гетероперехода при сращивании дна зоны проводимости $E_{\rm C}$ этих полупроводников на металлургической границе перехода на зонной диаграмме образуется "пичок". Величина "пичка" $\Delta E_{\rm C}$ равна:

$$\Delta E_{\rm C} = \chi_{\rm Ge} - \chi_{\rm GaAs}.$$

При сшивании вершины валентной зоны $E_{\rm V}$ в области металлургического перехода получается разрыв $\Delta E_{\rm V}$. Величина "разрыва" равна:

$$\varDelta E_{\rm V} = -\chi_{\rm Ge} - E_{\rm g\,Ge} + \chi_{\rm GaAs} + E_{\rm g\,GaAs} = -\varDelta E_{\rm C} + (E_{\rm g\,GaAs} - E_{\rm g\,Ge}) \,.$$

Из приведенных соотношений следует, что суммарная величина "пичка" $\Delta E_{\rm C}$ и "разрыва" $\Delta E_{\rm V}$ составляет $\Delta E_{\rm C} + \Delta E_{\rm V} = (E_{\rm g\,GaAs} - E_{\rm g\,Ge})$.

На рисунке 2.19 приведена построенная таким образом зонная диаграмма гетероперехода pGe – nGaAs.

Рассмотрим зонную диаграмму гетероперехода из этих же материалов (германия и арсенида галлия), но с другим типом проводимости – pGaAs – nGe (рис. 2.20). Используем те же самые принципы при построении этой зонной диаграммы. Получаем, что в этом случае "разрыв" наблюдается в энергетическом положении дна зоны проводимости и величина этого "разрыва" $\Delta E_{\rm C}$ равна: $\Delta E_{\rm C} = \chi_{\rm Ge} - \chi_{\rm GaAs}$.

"Пичок" наблюдается в области металлургического перехода для энергии вершины валентной зоны $E_{\rm V}$. Величина "пичка" $\Delta E_{\rm V}$ равна:

$$\Delta E_{\rm V} = -\chi_{\rm Ge} - E_{\rm g\,Ge} + \chi_{\rm GaAs} + E_{\rm g\,GaAs} = -\Delta E_{\rm C} + (E_{\rm g\,GaAs} - E_{\rm g\,Ge}).$$

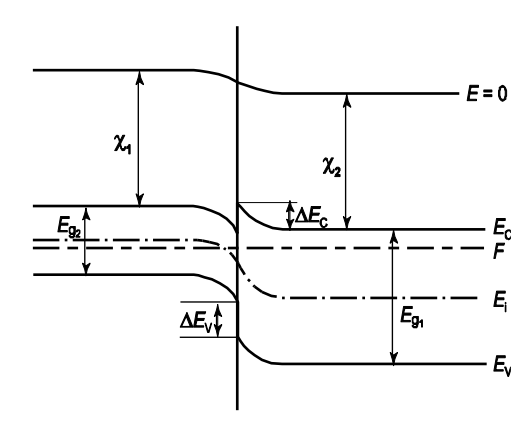


Рис. 2.19. - Зонная диаграмма гетероперехода pGe – nGaAs в равновесных условиях

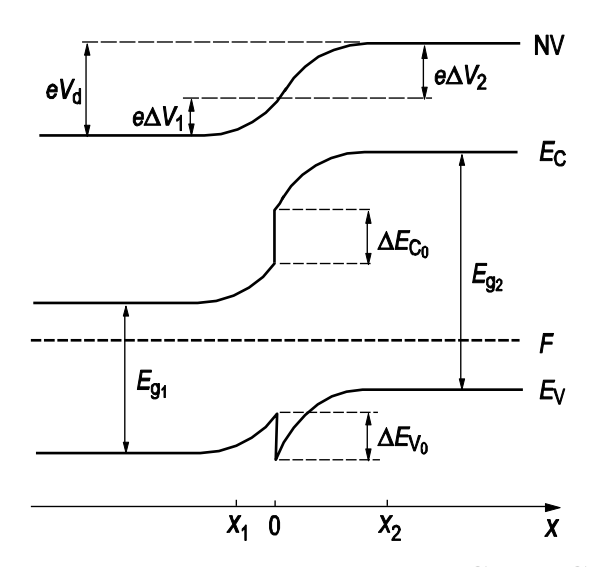


Рис. 2.20. - Зонная диаграмма гетероперехода nGe – pGaAs в равновесных условиях

Аналогичным образом можно построить зонные диаграммы для гетеропереходов при любых комбинациях уровней легирования, ширины запрещенной зоны и электронного сродства. На рисунке 2.21 приведены соответствующие зонные диаграммы для различных типов гетеропереходов. Обращает на себя внимание тот факт, что "пичок" и "разрыв" для энергетических уровней E_V , E_C в области металлургического перехода могут наблюдаться в различных комбинациях [20, 17].

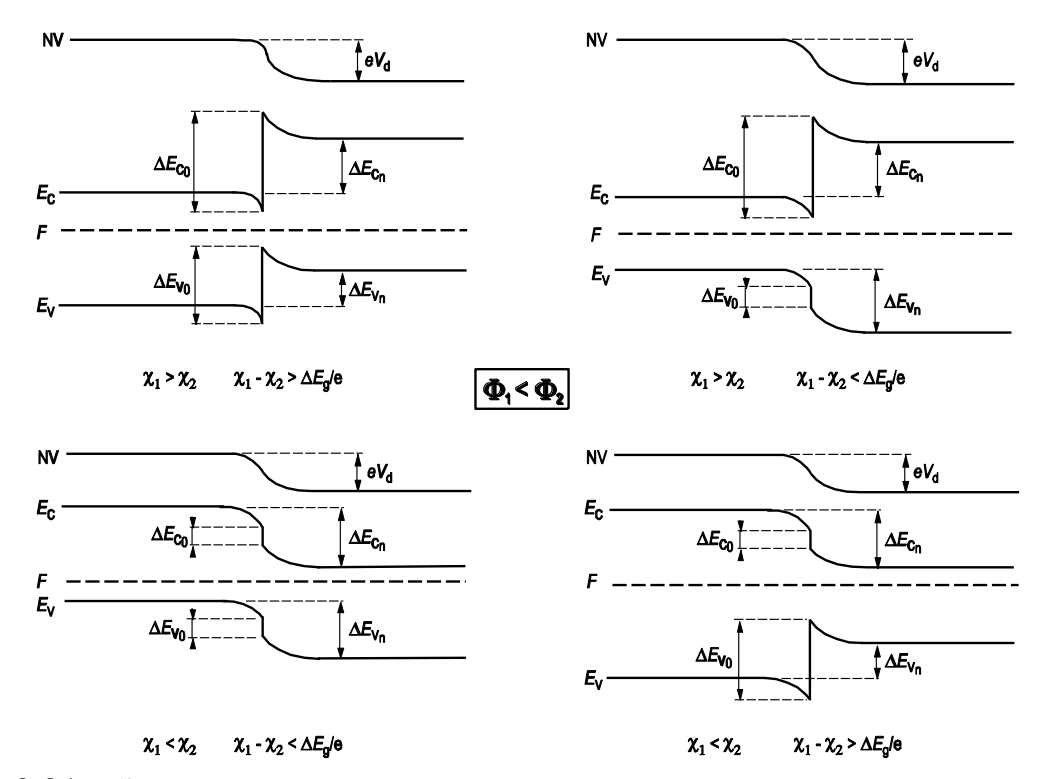


Рис. 2.21. - Зонные диаграммы для различных типов гетеропереходов при условии, что термодинамическая работа выхода первого слоя меньше, чем второго ($\Phi_1 < \Phi_2$), и при различных комбинациях для электронного сродства (пояснения на рисунках)

Распределение электрического поля и потенциала в области пространственного заряда для гетероперехода будет, как и в случае p-n перехода, но с различными значениями диэлектрических постоянных ε_s для левой и правой частей. Решение уравнения Пуассона в этом случае дает следующие выражения для электрического поля E, потенциала ψ и ширины обедненной области W_{1n} и W_{2p} при наличии внешнего напряжения:

$$E_{\text{lmax}} = \frac{qN_{\text{D}}W_{\text{ln}}}{\varepsilon_{1}\varepsilon_{0}}; \ E_{\text{2max}} = \frac{qN_{\text{A}}W_{\text{2p}}}{\varepsilon_{2}\varepsilon_{0}}, \tag{2.67}$$

$$V_{\rm ln} = \frac{qN_{\rm D}W_{\rm ln}^2}{2\varepsilon_{\rm l}\varepsilon_{\rm 0}}; \quad V_{\rm 2p} = \frac{qN_{\rm A}W_{\rm 2p}^2}{2\varepsilon_{\rm 2}\varepsilon_{\rm 0}}, \tag{2.68}$$

$$W_{\rm ln} = \sqrt{\frac{2\varepsilon_1 \varepsilon_2 \varepsilon_0 (\Delta \varphi_0 - V)}{q N_{\rm D}^2 \left(\frac{\varepsilon_1}{N_{\rm A}} + \frac{\varepsilon_2}{N_{\rm D}}\right)}}; \quad W_{\rm 2p} = \sqrt{\frac{2\varepsilon_1 \varepsilon_2 \varepsilon_0 (\Delta \varphi_0 - V)}{q N_{\rm A}^2 \left(\frac{\varepsilon_1}{N_{\rm A}} + \frac{\varepsilon_2}{N_{\rm D}}\right)}}.$$
 (2.69)

Полная ширина области пространственного заряда гетероперехода W, равная $W = W_{1n} + W_{2p}$, будет описываться следующим уравнением:

$$W = \sqrt{\frac{2\varepsilon_1 \varepsilon_2 \varepsilon_0 (\Delta \varphi_0 - V)}{q} \left(\frac{1}{N_{\rm A} \varepsilon_1} + \frac{1}{N_{\rm D} \varepsilon_2}\right)}.$$
 (2.70)

Высота потенциального барьера в гетеропереходе $\Delta \varphi_0$ будет определяться суммой потенциалов для каждой из областей гетероперехода:

$$\Delta \varphi_0 = V_{\rm ln} + V_{\rm 2p} \,. \tag{2.71}$$

Функциональная зависимость электрического поля и потенциала в области пространственного заряда гетероперехода от координаты будет соответственно линейной и квадратичной, как и в случае p-n перехода. Скачок электрического поля в гетеропереходе на металлургической границе обусловлен различными значениями диэлектрических постоянных ε_1 и ε_2 . В этом случае, согласно теореме Гаусса,

$$\varepsilon_1 E_{1 \max} = \varepsilon_2 E_{2 \max}. \tag{2.72}$$

На рисунке 2.22 показаны распределения электрического поля и потенциала в области пространственного заряда гетероперехода.

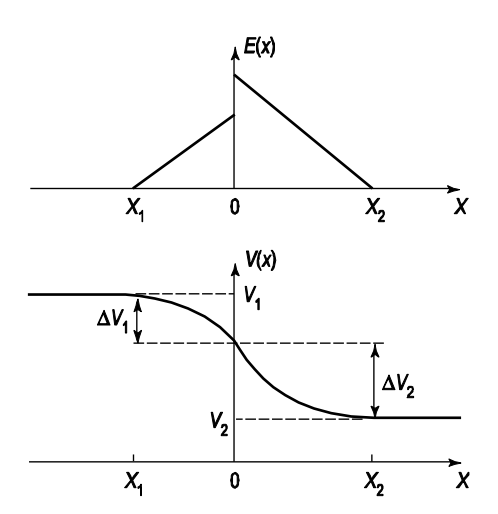


Рис. 2.22.- Распределение электрического поля и потенциала в области пространственного заряда гетероперехода nGe – pGaAs

Рассмотрим зонную диаграмму гетероперехода при приложении внешнего напряжения V. Как и в случае p-n перехода, знак напряжения будет

определяться знаком приложенного напряжения на p-область гетероперехода. На рисунке 2.23 приведены зонные диаграммы при положительном и отрицательном напряжениях на гетеропереходе nGe – pGaAs. Пунктиром на этих же зонных диаграммах изображены энергетические уровни в равновесных условиях V = 0.

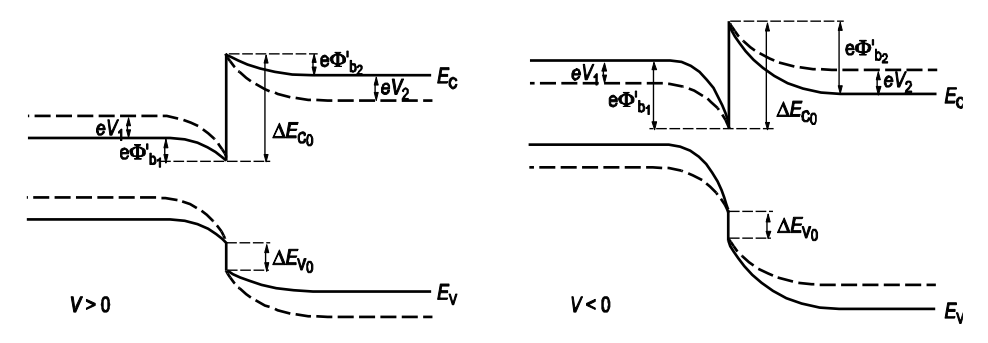


Рис. 2.23. - Зонные диаграммы гетероперехода nGe – pGaAs при положительном V > 0 и отрицательном V < 0 напряжениях. Пунктиром изображены энергетические уровни в равновесных условиях V = 0

Расчет вольт-амперных характеристик гетероперехода проводится исходя из баланса токов термоэлектронной эмиссии. Это рассмотрение было подробно проведено в разделе "Вольт-амперные характеристики для барьеров Шоттки". Используя тот же самый подход, для вольт-амперной характеристики гетероперехода получаем следующую зависимость:

$$J = J_{s}(e^{\beta V} - 1). \tag{2.73}$$

Для различных типов гетеропереходов экспоненциальная зависимость тока от напряжения в виде (2.73) сохраняется, выражение для тока $J_{\rm s}$ модифицируется.

Для гетеропереходов типа pGe – nGaAs легко реализовать одностороннюю инжекцию, даже в случае одинакового уровня легирования в эмиттере pGe и базе nGaAs гетероперехода. Действительно, при прямом смещении отношение дырочной $J_{\rm p}$ и электронной $J_{\rm n}$ компонент инжекционного тока будет определяться отношением концентрации неосновных носителей:

$$\frac{J_{\rm p}}{J_{\rm n}} = \frac{qL_{\rm p}p_{\rm n}}{\tau_{\rm p}} / \frac{qL_{\rm n}n_{\rm p}}{\tau_{\rm p}} \approx \frac{p_{\rm n}}{n_{\rm p}} = \frac{n_{i2}^2}{N_{\rm D}} / \frac{n_{i1}^2}{N_{\rm A}} = \frac{n_{i2}^2}{n_{i1}^2}.$$
(2.74)

Поскольку арсенид галлия — более широкозонный полупроводник, чем германий, то собственная концентрация в арсениде галлия (n_{i2}) будет много меньше, чем в германии (n_{i1}) , следовательно, дырочная компонента J_p инжекционного тока будет много меньше, чем электронная компонента J_n . Весь инжекционный ток в гетеропереходе pGe — nGaAs будет определяться электронной компонентой.

На зонной диаграмме гетеропереходов видно, что в области "пичка" для электронов или дырок реализуется потенциальная яма. Расчеты электрического поля в этой области показывают, что его значение достигает величины $E \sim 10^6$ В/см. В этом случае электронный газ локализован в узкой пространственной области вблизи металлургической границы гетероперехода. Для описания такого состояния используют представление о двумерном электронном газе [21, 2, 20]. Решение уравнения Шредингера свидетельствует о наличии энергетических уровней, существенно отстоящих друг от друга (рис. 2.24).

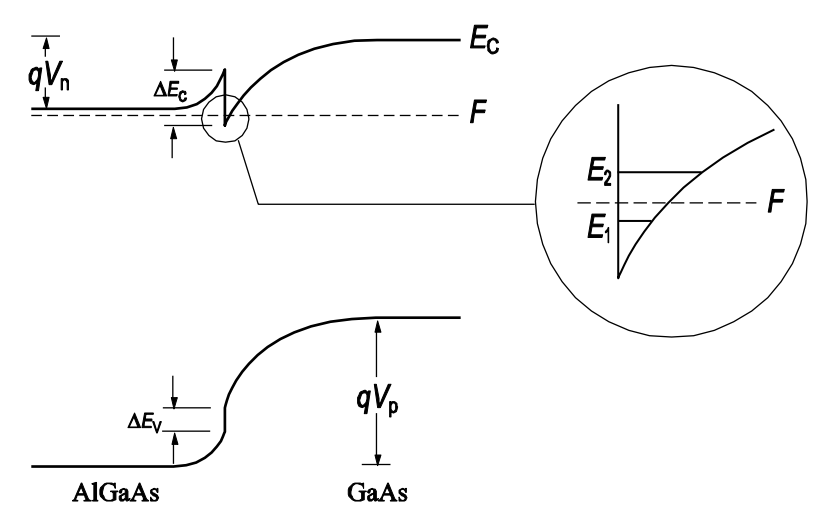


Рис. 2.24. -Зонная диаграмма гетероперехода, иллюстрирующая двумерное квантование

Физические свойства двумерного электронного газа существенно отличаются от свойств трехмерного электронного газа. Для двумерного электронного газа меняется плотность квантовых состояний в разрешенных зонах, спектр акустических и оптических фононов, а следовательно кинетические явления в двумерных системах (подвижность носителей, магнетосопротивление и эффект Холла). Экспериментальные исследования двумерного квантования вблизи металлургической границы гетероперехода позволили изучить и объяснить эти явления.

Вопросы для контроля изучаемого материала:

- 1. Что называется гетеропереходом и чем он отличается от р-п перехода в одном материале?
- 2. Как классифицируются гетеропереходы по типу выравнивания зон?
- 3. Объясните физический смысл разрывов зон
- 4. Что представляет собой зонная диаграмма гетероперехода типа I и типа II?
- 5. Как осуществляется перенос носителей через границу двух полупроводников?
- 6. Какие методы применяются для получения гетероструктур?
- 7. В каких приборах используются гетеропереходы и почему?
- 8. Какие современные материалы используются в наноразмерных гетероструктурах?

Список литературных источников:

- 1. Соколов В. И. Физика и технология полупроводников. М.: МИФИ, 2018.
- 2. Трифонов Е. Н. Электронные процессы в твёрдых телах. М.: Наука, 2015.
- 3. Sze, S. M., Ng, K. K. Physics of Semiconductor Devices. Wiley, 2007
- 4. Yu, P. Y., Cardona, M. Fundamentals of Semiconductors: Physics and Materials Properties. Springer, 2019.
- 5. Bhattacharya, P. Semiconductor Optoelectronic Devices. Prentice Hall, 1997.
- 6. Kittel, C. Introduction to Solid State Physics. Wiley, 2018.
- 7. Esaki, L. Long journey into tunneling. Rev. Mod. Phys., 46, 1974...